

ОПТИЧЕСКИЕ СИСТЕМЫ С МНОГОСЕКТОРНЫМИ ПОЛЯМИ ЗРЕНИЯ НА ОСНОВЕ ДИФРАКЦИОННЫХ ЭЛЕМЕНТОВ

При создании ряда устройств обработки информации, технического зрения и т.п. возникает необходимость построения оптических систем с многосекторными полями зрения. Такие системы должны обеспечивать пространственное совмещение изображений эквидистантных предметов, наблюдаемых под различными углами. С функциональной точки зрения системы с многосекторными полями состоят из двух основных компонентов: демультиплексатора, осуществляющего совмещение пучков, распространяющихся под различными углами, и объектива, формирующего изображение.

Наиболее простым по конструкции демультиплексором является дифракционная решетка, формирующая в различных дифракционных порядках пучки одинаковой интенсивности [1]. Если при этом в качестве объектива используется одиночная дифракционная линза, то вся система в целом может быть изготовлена в виде одной оптической детали – плоскопараллельной пластины, на противоположных гранях которой выполнены линейная и кольцевая рельефно-фазовые дифракционные структуры. Работа такой пластины в каждом порядке дифракционной решетки, за исключением нулевого, эквивалента работе внеосевого голограммного оптического элемента (ГОЭ).

Фокусирующие и аберрационные свойства внеосевого ГОЭ, формирующего изображение на сферической поверхности, рассмотрены в работе [2]. Учитывая, что приемники излучения, как правило, рассчитаны на сопряжение с оптическими системами, формирующими плоское изображение, в настоящей работе рассматриваются фокусирующие и аберрационные свойства внеосевого ГОЭ при формировании изображения на плоскости, нормальной к оси наблюдения.

Наиболее общая голографическая схема получения внеосевого ГОЭ, предназначенного для формирования изображения достаточно удаленных объектов, представлена на рис. 1. На длине волны записи λ_0 ГОЭ будет формировать безаберрационное изображение бесконечно удаленного точечного источника, расположенного на прямой O_1O . Эту прямую, являющуюся осью коллимированного пучка записи, в дальнейшем будем называть осью диаграммы направленности ГОЭ на длине волны λ_0 . Ось OO' , в точке O' которой будет формироваться безаберрационное изображение, назовем осью наблюдения, саму точку O' – фокусом ГОЭ, а расстояние $OO' = f'_0$ – фокусным расстоянием элемента.

Если бесконечно удаленный точечный источник не находится на оси диаграммы направленности или длина волны его излучения λ не совпадает с λ_0 , то изображение источника смещается из точки O' и искажается абер-

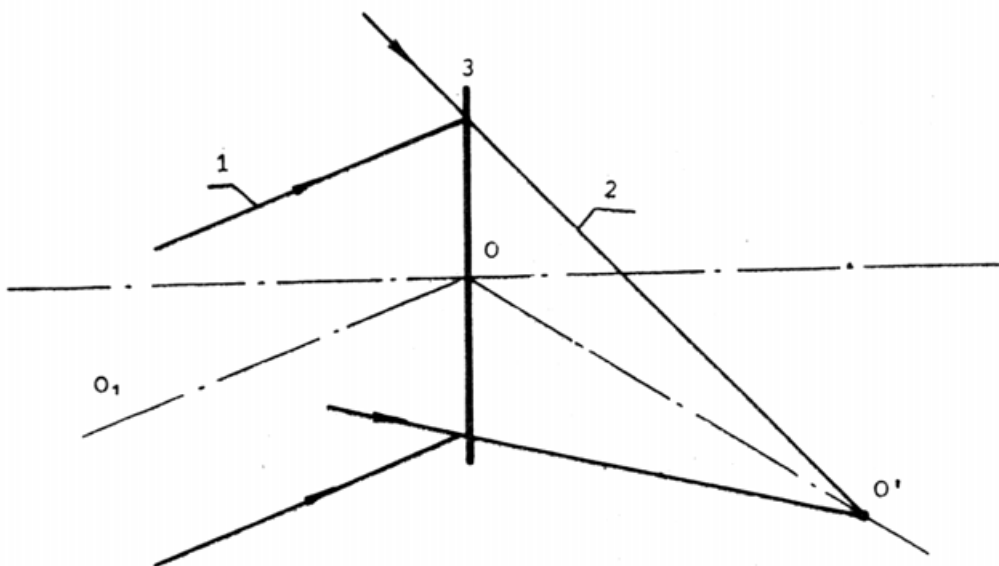


Рис. 1. Голографическая схема получения внеосевого ГОЭ:
1, 2 - коллимированный и сходящийся пучки записи;
3 - плоскость записи

рациями. Для определения параксиальных координат изображения и оценки aberrаций в этом случае необходимы формулы расчета хода лучей через внеосевой ГОЭ. Такие формулы могут быть получены с использованием аппарата, изложенного в работе [3].

В системе координат XYZ, в которой начало координат совпадает с центром апертуры ГОЭ, плоскость YOZ проходит через оси диаграммы направленности и наблюдения, а ось OZ нормальна к плоскости ГОЭ (рис. 2), формулы, связывающие направляющие косинусы падающего (m_x , m_y , m_z) и дифрагированного (m'_x , m'_y , m'_z) лучей имеют вид

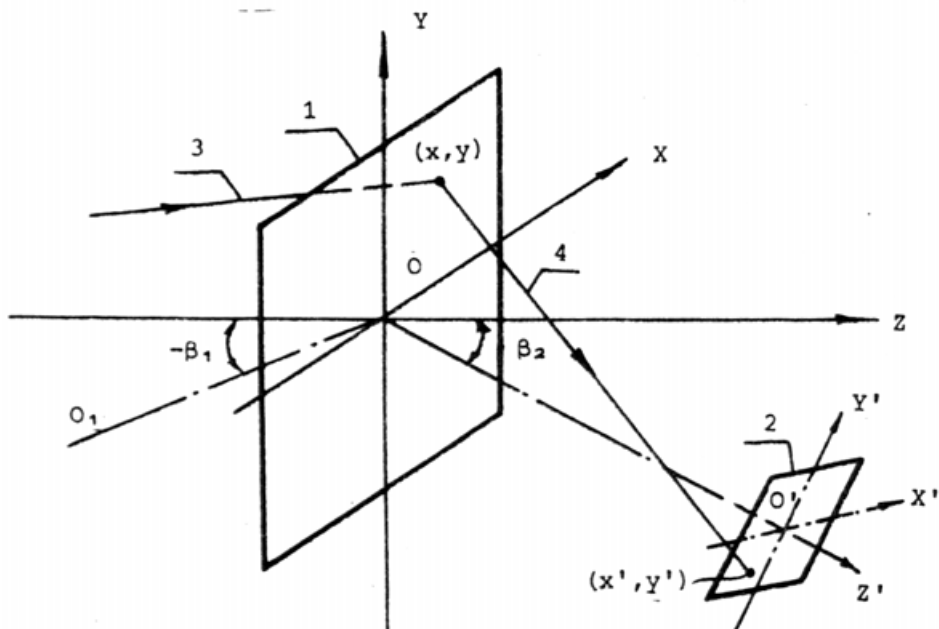


Рис. 2. К расчету хода лучей через внеосевой ГОЭ:
1 - плоскость дифракционной структуры ГОЭ;
2 - фокальная плоскость элемента; 3, 4 - падающий и дифрагированный лучи

$$\left. \begin{array}{l} m'_x = m_x - \mu \Omega x; \\ m'_y = m_y - \mu [\sin \beta_1 + \Omega (y - f'_o \sin \beta_2)]; \\ m'_z = \sqrt{1 - m'^2_x - m'^2_y}, \end{array} \right\} \quad (1)$$

где

$$\Omega = \frac{1}{f'_o} \left(1 + \frac{x^2 + y^2}{f'^2_o} - \frac{2y \sin \beta_2}{f'_o} \right)^{-\frac{1}{2}}, \quad (2)$$

$$\mu = \lambda / \lambda_0.$$

Формулы (1) получены в предположении, что ГОЭ работает в минус первом порядке дифракции и находится в воздухе.

Координаты точки пересечения дифрагированного луча с фокальной плоскостью (плоскостью, нормальной к оси наблюдения и отстоящей на расстоянии f'_o от центра апертуры ГОЭ) в системе координат $X'Y'Z'$, связанной с этой плоскостью и осью наблюдения (см. рис. 2), имеют вид

$$\left. \begin{array}{l} x' = x + G m'_x; \\ y' = y + G (m'_y \cos \beta_2 - m'_z \sin \beta_2), \end{array} \right\} \quad (3)$$

где

$$G = \frac{f'_o - y \sin \beta_2}{m'_y \sin \beta_2 + m'_z \cos \beta_2}. \quad (4)$$

Обозначим через $\xi(\xi')$ тангенс угла между падающим (дифрагированным) лучом и плоскостью YOZ , то есть меридиональной плоскостью; через $\eta(\eta')$ – тангенс угла между падающим (дифрагированным) лучом и осью диаграммы направленности ГОЭ (осью наблюдения), измеренный в меридиональной плоскости. Параксиальные формулы и формулы для aberrационных коэффициентов можно получить, разложив выражения (1)–(4) в ряды по степеням x , y , ξ , η и ограничив их членами требуемого порядка малости. В параксиальном приближении ряды ограничиваются членами первого порядка и из (1)–(4) получаем

$$\left. \begin{array}{l} x' = f'_o \xi + M_{1000}^{xp.} x \\ y' = f'_o \eta + M_{0001}^{xp.} \eta + M_{0000}^{xp.} + M_{0100}^{xp.} y, \end{array} \right\} \quad (5)$$

где

$$\left. \begin{array}{l} M_{1000}^{xp.} = -\frac{\Delta \lambda}{\lambda_0}; \\ M_{0000}^{xp.} = -f'_o \left(\frac{\Delta \lambda}{\lambda_0} \right) \left(\frac{\sin \beta_1 - \sin \beta_2}{\cos \beta_2} \right); \\ M_{0100}^{xp.} = -\left(\frac{\Delta \lambda}{\lambda_0} \right) \cos \beta_2; \\ M_{0001}^{xp.} = -f'_o \left(1 - \frac{\cos \beta_1}{\cos \beta_2} \right). \end{array} \right\} \quad (6)$$

Первые три коэффициента выражений (6) определяют хроматизм внеосевого ГОЭ: M_{1000} - сагиттальный хроматизм первого порядка, M_{0000} и M_{0100} - меридианальный хроматизм соответственно нулевого и первого порядков. Коэффициент M_{0001} характеризует аноморфотность внеосевого ГОЭ.

Переходя к определению первичных монохроматических aberrаций, отметим, что у оптических систем, не имеющих оси симметрии, первичными являются aberrации второго порядка. Полагая в формулах (1) $\mu = 1$, разлагая (1)-(4) в степенные ряды и ограничиваясь членами второго порядка малости относительно величин x , y , ξ и η , получим для внеосевого ГОЭ следующие выражения первичных монохроматических aberrаций:

$$\left. \begin{aligned} \Delta x'_2 &= M_{0110}y\xi; \\ \Delta y'_2 &= M_{1010}x\xi + M_{0101}y\eta + M_{0020}\xi^2 + M_{0002}\eta^2 \end{aligned} \right\} \quad (7)$$

где

$$\left. \begin{aligned} M_{0110} &= -\sin \beta_2; \\ M_{1010} &= -\operatorname{tg} \beta_2; \\ M_{0101} &= -2\cos \beta_1 \operatorname{tg} \beta_2; \\ M_{0020} &= \frac{1}{2} f'_0 \operatorname{tg} \beta_2; \\ M_{0002} &= \frac{1}{2} f'_0 \left(\frac{\cos^2 \beta_1 \sin \beta_2 - \sin \beta_1 \cos^2 \beta_2}{\cos^3 \beta_2} \right). \end{aligned} \right\} \quad (8)$$

В соответствии с работой [4] дадим следующие названия полученных aberrационных коэффициентов:

M_{0110} , M_{1010} и M_{0101} - коэффициенты астигматизма;
 M_{0002} и M_{0020} - соответственно коэффициенты масштабной и параболической дисторсии.

Приведенные здесь выражения могут быть положены в основу расчета и анализа оптических систем, включающих внеосевые ГОЭ, и в частности дифракционных систем с многосекторными полями зрения.

Л и т е р а т у р а

- Бобров С.Т., Котлецов Б.Н., Минаков В.И., Туркевич Ю.Г. Дифракционные решетки с порядками одинаковой интенсивности // Голографические измерительные системы. Вып. 2. Новосибирск, 1979, с. 123-128.
- Champagne E.B. Nonparaxial Imaging, Magnification and Aberration Properties in Holography. J.Opt. Soc. Am. 1967, 57, № 1, p. 51-55.
- Бобров С.Т., Грейсух Г.И., Туркевич Ю.Г. Оптика дифракционных элементов и систем. Л.: Машиностроение, 1986, 223 с.
- Вычислительная оптика: Справочник / М.М. Русинов, А.П. Грамматин, П.Д. Иванов и др. Л.: Машиностроение, 1984, 423 с.